

บทที่ 3

ผลการทดลอง

3.1 การคัดแยกจุลินทรีย์จากรากพืชบริเวณดินกรดจัด

3.1.1 สมบัติทางเคมี-กายภาพของตัวอย่างดินกรดจัด

จากการเก็บตัวอย่างดินกรดจัด และดินเค็มที่เป็นกรดจัดมาวิเคราะห์สมบัติทางเคมีพบว่า ดินกรดจัดจากจังหวัดนครราชสีมา และจากบ้านเหมืองจากมีความเป็นกรดต่างต่ำ (2.94 และ 3.69) ส่วนบ้านท่านางหอม และบริเวณบริเวณบ้านบางเตง จะมีความเป็นกรดต่างค่อนข้างสูง (4.81 และ 5.01) และในดินเค็มที่เป็นกรดจัด (บริเวณบ้านท่านางหอม) มีค่าการนำไฟฟ้าและเบสที่แลกเปลี่ยนได้ (exchangeable Ca, Mg, K และ Na) สูง และในดินทุกบริเวณมีค่าอะลูมิเนียมที่แลกเปลี่ยนได้สูงมาก ในดินกรดจัดจากนครราชสีมาจะมีค่าอินทรีย์วัตถุสูงมาก (362.41 กรัมต่อกิโลกรัม) และในดินตัวอย่างทุกตัวอย่างมีปริมาณฟอสฟอรัสที่เป็นประโยชน์ต่ำมาก (0.38-2.17 มิลลิกรัมต่อกิโลกรัม) (ตารางที่ 3.1)

ตารางที่ 3.1 สมบัติทางเคมี-กายภาพของตัวอย่างดินกรดจัดที่ความลึก 0-30 เซนติเมตร

| สมบัติทางเคมี-กายภาพ | บ้านเหมืองจาก อ.ปากพะยูน | บ้านบางเตง อ.ปากพะยูน | บ้านท่านางหอม อ.หาดใหญ่ | ต.โคกกระตูกหมู อ.เมืองนครราชสีมา |
|---|-----------------------------|--------------------------|----------------------------|-------------------------------------|
| pH (1:5) | 3.69 | 5.01 | 4.81 | 2.94 |
| EC* (1:5) (dS m ⁻¹) | 1.27 | 3.26 | 8.14 | 2.72 |
| exchangeable Ca (cmol _c kg ⁻¹) | 1.00 | 7.52 | 4.77 | 6.04 |
| exchangeable Mg (cmol _c kg ⁻¹) | 6.33 | 18.24 | 20.74 | 4.49 |
| exchangeable K (cmol _c kg ⁻¹) | 0.59 | 1.98 | 4.37 | 0.73 |
| exchangeable Na (cmol _c kg ⁻¹) | 1.68 | 1.82 | 3.73 | 0.09 |
| exchangeable Al (cmol _c kg ⁻¹) | 9.87 | 6.59 | 7.73 | 13.33 |
| Organic matter (g kg ⁻¹) | 35.96 | 89.74 | 52.35 | 362.41 |
| available P (mg kg ⁻¹) | 0.38 | 1.72 | 0.91 | 2.17 |

*EC = ค่าการนำไฟฟ้า; electrical conductivity

3.1.2 จุลินทรีย์จากดินและดินเขตอิทธิพลของราก

จากการคัดแยกจุลินทรีย์จากดิน และดินเขตอิทธิพลของรากที่เจริญเติบโตได้ดีในบริเวณดินกรดจัด และดินเค็มที่เป็นกรดจัด พบว่า ไม่พบจุลินทรีย์ในดินที่สามารถเจริญอยู่ได้บนอาหารที่มีฟอสฟอรัสในรูปที่ไม่เป็นประโยชน์ แต่จะพบเชื้อจุลินทรีย์ที่มีลักษณะต่าง ๆ กันที่ คัดแยกออกมาจากดินเขตอิทธิพลของราก สามารถเจริญได้บนอาหารแข็งสูตร modified Pikovskaya ที่มีฟอสฟอรัสในรูปที่ไม่เป็นประโยชน์ทั้งหมด 12 สายพันธุ์ (ตารางที่ 3.2) ซึ่งคัด-แยกมาได้จากดินเขตอิทธิพลของรากเสม็ดขาว (*Melaleuca cajuputi*) และกก (*Scleria sumatrensis*) เมื่อนำไปเทียบเคียงลำดับเบส พบว่า มีจุลินทรีย์ 3 สกุล คือ เชื้อแบคทีเรีย *Acidocella* sp. 8 สายพันธุ์ แบคทีเรีย *Burkholderia* sp. 3 สายพันธุ์ และยีสต์ *Ustilago* sp. 1 สายพันธุ์

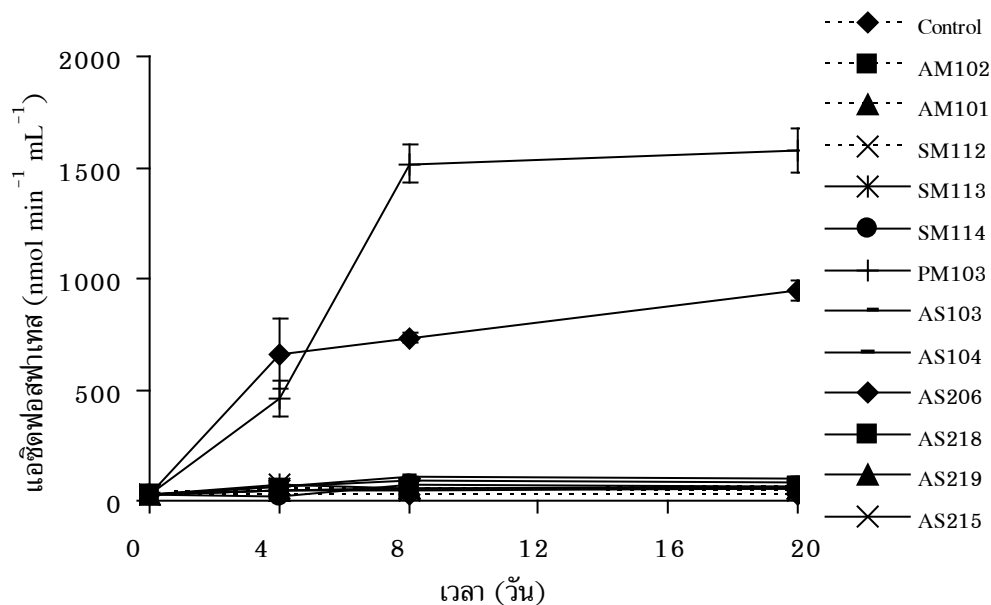
ตารางที่ 3.2 จุลินทรีย์ที่เจริญบนอาหารแข็งสูตร modified Pikovskaya ที่มีฟอสฟอรัสในรูปที่ไม่เป็นประโยชน์

| ชนิดพืช | พื้นที่ที่เก็บตัวอย่าง | สกุลของจุลินทรีย์ | ชนิดของจุลินทรีย์ | รหัส |
|---|------------------------|--------------------------------|-------------------|-------|
| เสม็ดขาว (<i>Melaleuca cajuputi</i>) | บ้านเหมืองจาก | <i>Burkholderia tropicalis</i> | แบคทีเรีย | AM102 |
| | บ้านเหมืองจาก | <i>Acidocella</i> sp. | แบคทีเรีย | AM101 |
| | บ้านท่านางหอม | <i>Acidocella</i> sp. | แบคทีเรีย | SM112 |
| | บ้านท่านางหอม | <i>Burkholderia</i> sp. | แบคทีเรีย | SM113 |
| | บ้านท่านางหอม | <i>Acidocella</i> sp. | แบคทีเรีย | SM114 |
| | โคกกระตูดหมู | <i>Ustilago</i> sp. | ยีสต์ | PM103 |
| กก (<i>Scleria sumatrensis</i>) | บ้านเหมืองจาก | <i>Burkholderia</i> sp. | แบคทีเรีย | AS103 |
| | บ้านเหมืองจาก | <i>Acidocella rubrifaciens</i> | แบคทีเรีย | AS104 |
| | บ้านบางเตง | <i>Acidocella</i> sp. | แบคทีเรีย | AS206 |
| | บ้านบางเตง | <i>Acidocella</i> sp. | แบคทีเรีย | AS218 |
| | บ้านบางเตง | <i>Acidocella</i> sp. | แบคทีเรีย | AS219 |
| | บ้านบางเตง | <i>Acidocella</i> sp. | แบคทีเรีย | AS215 |

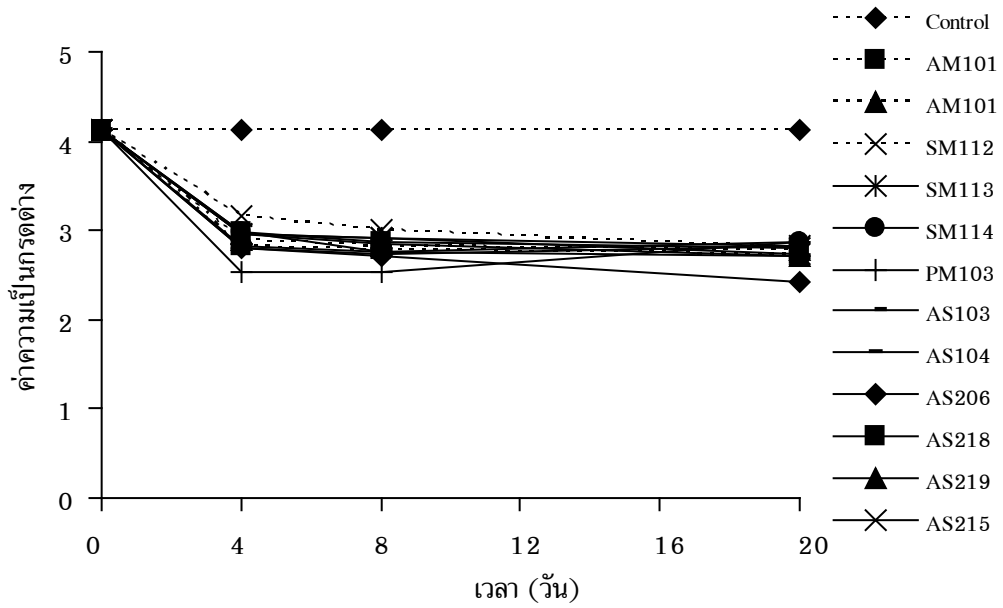
3.2 การคัดเลือกจุลินทรีย์ที่มีศักยภาพในการเพิ่มความเป็นประโยชน์ของฟอสฟอรัส

3.2.1 กิจกรรมเอนไซม์แอสิดฟอสฟาเทสของจุลินทรีย์

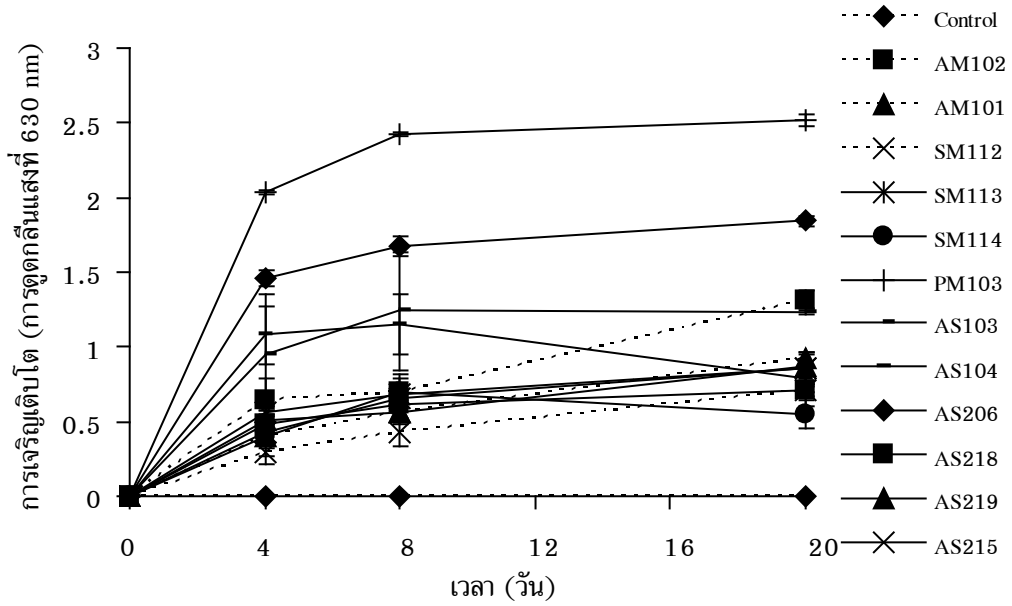
จากการศึกษากิจกรรมเอนไซม์แอซิดฟอสฟาเทสของจุลินทรีย์ พบว่า เชื้อ *Acidoceella* sp. AS206 มีกิจกรรมของเอนไซม์สูงสุด ($660.74 \text{ nmol min}^{-1} \text{ mL}^{-1}$) ในช่วงเวลา 4 วันแรก จากนั้นกิจกรรมเอนไซม์แอซิดฟอสฟาเทสเริ่มคงที่เมื่อเวลาผ่านไปนานขึ้น ในขณะที่เชื้อ *Ustilago* sp. PM103 มีกิจกรรมเอนไซม์สูงสุด โดยจะมีแนวโน้มเพิ่มขึ้นอย่างรวดเร็วเมื่อเวลาผ่านไปตั้งแต่ 8 วัน และเมื่อเวลาผ่านไป 20 วัน เชื้อ *Ustilago* sp. PM103 มีกิจกรรมเอนไซม์แอซิดฟอสฟาเทสสูงสุด ($1,577 \text{ nmol min}^{-1} \text{ mL}^{-1}$) ส่วนเชื้อชนิดอื่นๆจะมีกิจกรรมเอนไซม์น้อยมาก และใกล้เคียงกับชุดควบคุม (control) (รูปที่ 3.1) ส่วนความเป็นกรดต่างของอาหารในขณะที่เลี้ยงเชื้อ พบว่า ความเป็นกรดต่างของอาหารลดลงในลักษณะเดียวกันทุกชนิดจุลินทรีย์ คือ ในช่วง 6 วันแรก ความเป็นกรดต่างลดลงเร็วมากโดยเฉพาะเชื้อ *Ustilago* sp. PM103 มีความเป็นกรดต่างต่ำสุด (2.54) หลังจากนั้นความเป็นกรดต่างลดลงเล็กน้อยและค่อนข้างคงที่ (รูปที่ 3.2) ในขณะเดียวกัน การเจริญเติบโตของเชื้อแต่ละชนิดเจริญเร็วหรือช้าต่างกันออกไปตามชนิดของจุลินทรีย์ ซึ่งสามารถพิจารณาจากค่าการดูดกลืนแสงที่ความยาวคลื่น 630 นาโนเมตร โดยมีความสัมพันธ์กับปริมาณเชื้อจุลินทรีย์ พบว่าเชื้อ *Ustilago* sp. PM103 มีการเจริญเติบโตสูงสุด (ค่าการดูดกลืนแสง 2.519 เมื่อเลี้ยงไว้ 20 วัน) (รูปที่ 3.3)



รูปที่ 3.1 กิจกรรมเอนไซม์แอซิดฟอสฟาเทสของเชื้อ เมื่อเลี้ยงไว้เป็นเวลา 20 วันในอาหารที่ใช้ฟอสฟอรัสในรูปโซเดียมฟิเทต



รูปที่ 3.2 ความเป็นกรดต่างที่เปลี่ยนแปลงเมื่อเลี้ยงไว้เป็นเวลา 20 วันในอาหารที่ใช้ฟอสฟอรัสในรูปโซเดียมไฟเฟต



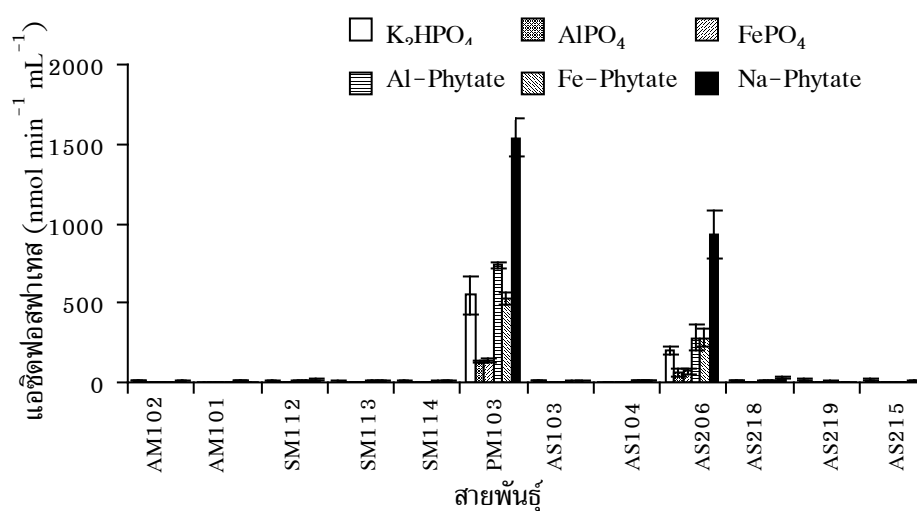
รูปที่ 3.3 การเจริญเติบโตของจูลินทรีย์เมื่อเลี้ยงไว้เป็นเวลา 20 วันในอาหารที่ใช้ฟอสฟอรัสในรูปโซเดียมไฟเฟต

3.2.2 การผลิตกรดอินทรีย์โดยจุลินทรีย์

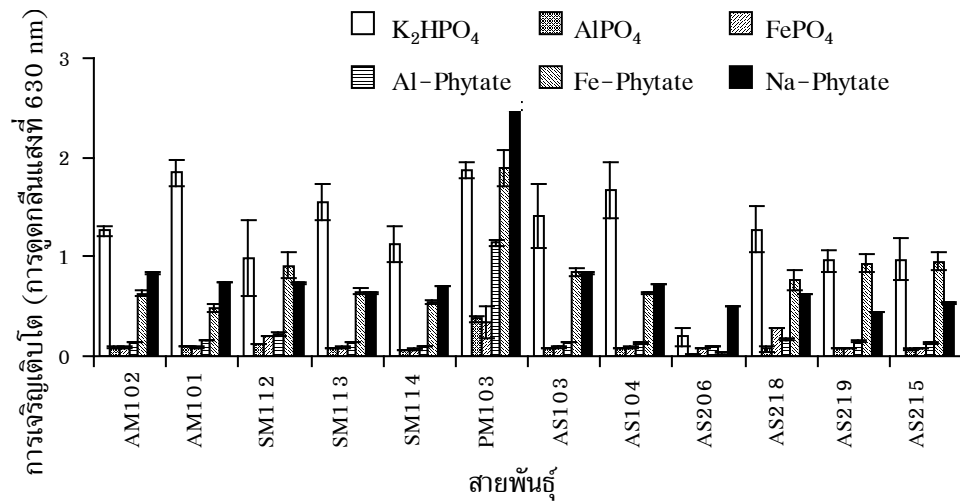
จากการศึกษาการผลิตกรดอินทรีย์ของเชื้อจุลินทรีย์ทั้งหมดที่คัดแยกมาได้ พบว่าไม่สามารถตรวจวัดกรดอินทรีย์ได้ โดยเครื่องคอปิลารีโอออนแอนนาไลเซอร์ ตั้งแต่เวลา 0 ถึง 14 วัน

3.2.3 ความสามารถในการใช้ฟอสฟอรัสในรูปแบบต่างๆโดยจุลินทรีย์

จากการศึกษา พบว่า เชื้อ *Ustilago* sp. PM103 ที่เลี้ยงในอาหารที่มีฟอสฟอรัสในรูปโซเดียมไฟเตตมีกิจกรรมเอนไซม์แอสิดฟอสฟาเทสสูงที่สุดถึง $1,576 \text{ nmol min}^{-1} \text{ mL}^{-1}$ (รูปที่ 3.4) ในขณะที่เชื้อ *Acidocella* sp. AS206 มีกิจกรรมเอนไซม์แอสิดฟอสฟาเทสสูงที่สุดเมื่อเลี้ยงในอาหารที่มีฟอสฟอรัสในรูปโซเดียมไฟเตต แต่กิจกรรมของเอนไซม์น้อยกว่าเชื้อ *Ustilago* sp. PM103 ในขณะที่เชื้อชนิดอื่นไม่แสดงกิจกรรมเอนไซม์แอสิดฟอสฟาเทส ส่วนการเจริญเติบโตของเชื้อจุลินทรีย์ส่วนใหญ่ ที่เลี้ยงไว้ในอาหารที่มีฟอสฟอรัสในรูปที่ละลายน้ำได้ง่าย (K_2HPO_4) จะดีกว่าอาหารที่มีฟอสฟอรัสในรูปแบบอื่นๆ ยกเว้นเชื้อ *Ustilago* sp. PM103 และ *Acidocella* sp. AS206 ที่สามารถเจริญในอาหารที่มีฟอสฟอรัสในรูปโซเดียมไฟเตตได้ดีที่สุด (รูปที่ 3.5) แต่ *Ustilago* sp. PM103 มีการเจริญเติบโตดีกว่า



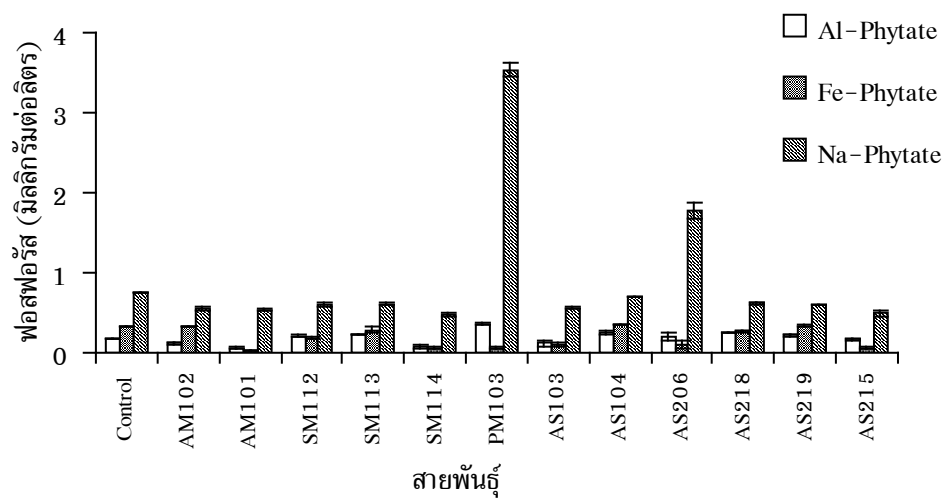
รูปที่ 3.4 กิจกรรมเอนไซม์แอสิดฟอสฟาเทสของเชื้อที่คัดแยกมาได้ เมื่อเวลาผ่านไป 20 วัน ในอาหารที่ใช้ฟอสฟอรัสในรูปแบบต่างๆ



รูปที่ 3.5 การเจริญเติบโตของเชื้อที่คัดแยกมาได้ เมื่อเวลาผ่านไป 20 วัน ในอาหารที่ใช้ฟอสฟอรัสในรูปแบบต่างๆ

3.2.4 การทดสอบการละลายของอินทรีย์ฟอสฟอรัสโดยจุลินทรีย์

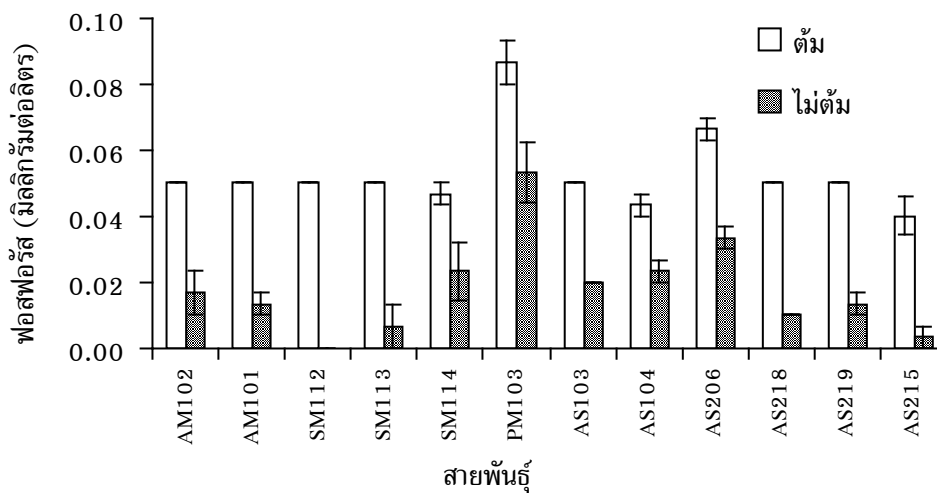
เชื้อ *Ustilago* sp. PM103 สามารถละลายฟอสฟอรัสในรูปแบบโซเดียมไฟเตต ออกมามากที่สุด (3.530 ± 0.090 มิลลิกรัมต่อลิตร) ในขณะที่การละลายอินทรีย์ฟอสฟอรัสในรูปไอออน และอะลูมิเนียมไฟเตต พบว่า ไม่มีเชื้อที่คัดแยกมาได้ สามารถละลายฟอสฟอรัสออกมาจากอินทรีย์ฟอสฟอรัสในรูปแบบดังกล่าวได้ (รูปที่ 3.6)



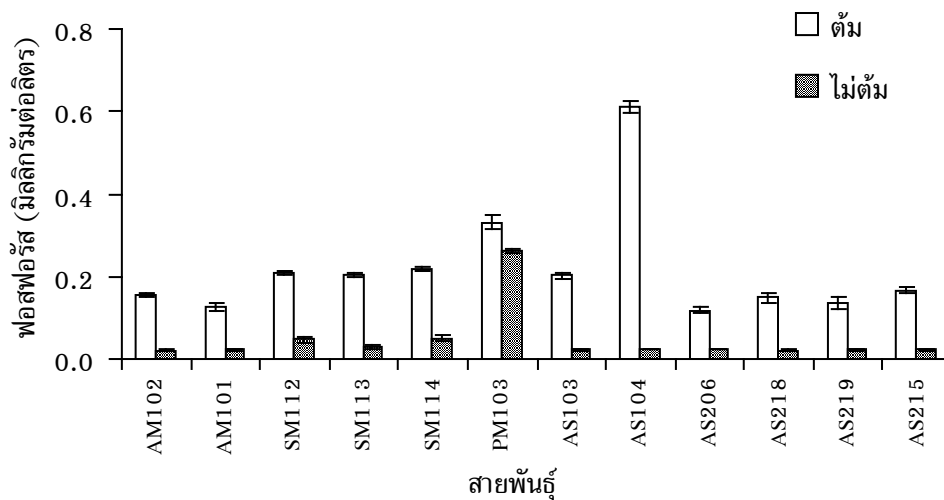
รูปที่ 3.6 การละลายอินทรีย์ฟอสฟอรัสโดยเชื้อที่คัดแยกมาได้หลังจากบ่มไว้ 14 ชั่วโมง

3.2.5 การทดสอบการละลายของอนินทรีย์ฟอสฟอรัสโดยจุลินทรีย์

จากการศึกษาการละลายอะลูมิเนียมฟอสเฟต และไอรอนฟอสเฟตโดยจุลินทรีย์พบว่า จุลินทรีย์ทั้งหมดสามารถละลายฟอสฟอรัสออกมาเพียงเล็กน้อย ในตำรับการทดลองที่นำจุลินทรีย์ทั้งหมดไปต้มทำให้มีฟอสฟอรัสในสารละลายสูงกว่าตำรับการทดลองที่ไม่นำจุลินทรีย์ไปต้ม โดยเชื้อ *Ustilago* sp. PM103 มีฟอสฟอรัสละลายออกมาจากอาหารที่มีฟอสฟอรัสในรูปอะลูมิเนียมฟอสเฟตในตำรับการทดลองที่ต้ม และไม่ต้มออกมาได้มากที่สุด (0.087 และ 0.053 มิลลิกรัมต่อลิตร ตามลำดับ) (รูปที่ 3.7) และพบว่าในอาหารที่เลี้ยงเชื้อที่มีฟอสฟอรัสในรูปไอรอนฟอสเฟต เชื้อ *Ustilago* sp. PM103 ที่ไม่ต้มจะมีฟอสฟอรัสมากที่สุด (0.260 มิลลิกรัมต่อลิตร) แต่เมื่อนำไปต้มแล้วนำส่วนใสไปวิเคราะห์ฟอสฟอรัส พบว่า เชื้อ *Acidocella rubrifaciens* AS104 จะมีฟอสฟอรัสในสารละลายมากที่สุด (0.610 มิลลิกรัมต่อลิตร) อย่างไรก็ตาม แม้ว่าเชื้อสามารถละลายอนินทรีย์ฟอสฟอรัสออกมาได้ แต่เป็นปริมาณที่น้อยมาก เมื่อเทียบกับฟอสฟอรัสทั้งหมดที่ใส่ลงไป (5 มิลลิกรัมต่อลิตร) (รูปที่ 3.8) (การที่ไม่ใช่ชุดควบคุม เนื่องจากได้ทำการทดสอบก่อนมาแล้ว และไม่พบฟอสฟอรัสแม้ว่าจะต้มหรือไม่ต้มก็ตาม)



รูปที่ 3.7 การละลายอนินทรีย์ฟอสฟอรัสในรูปอะลูมิเนียมฟอสเฟตโดยเชื้อที่คัดแยกได้

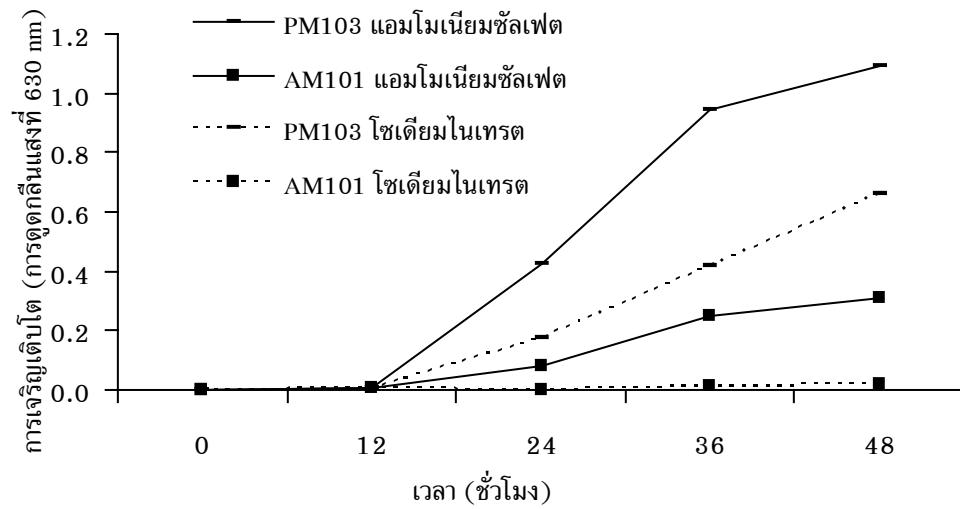


รูปที่ 3.8 การละลายอนินทรีย์ฟอสฟอรัสในรูปไอออนฟอสเฟตโดยเชื้อที่คัดแยกได้

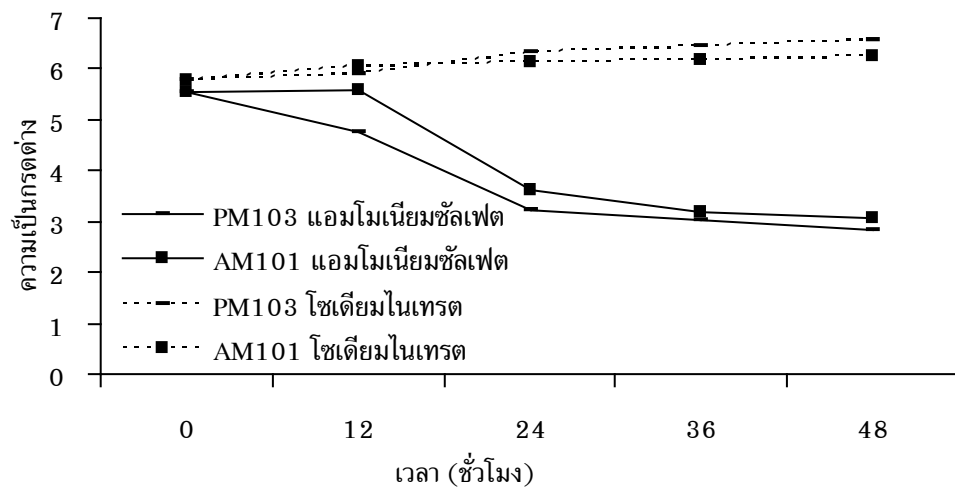
3.3 ผลของไนโตรเจนและแคตไอออนบางชนิดต่อการเจริญของจุลินทรีย์

3.3.1 รูปของไนโตรเจนต่อการเจริญเติบโตของจุลินทรีย์

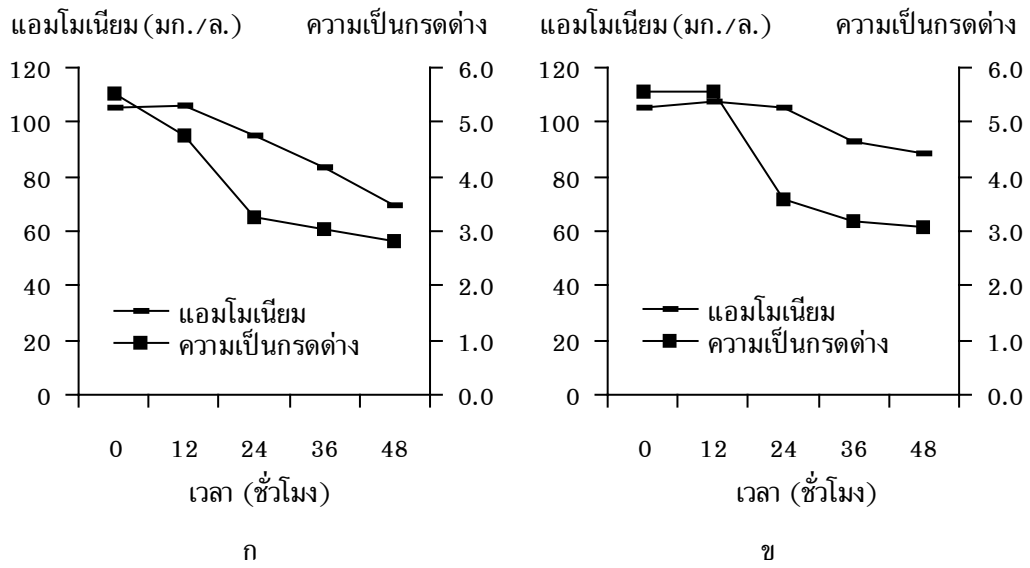
จุลินทรีย์ที่เลี้ยงในอาหารสูตร modified Pikovskaya ที่ใช้ในโตรเจนในรูปแอมโมเนียมซัลเฟต มีการเจริญเติบโตได้ดีกว่าอาหารที่ใช้ไนโตรเจนในรูปโซเดียมไนเตรต โดยใช้ช่วง 12 ชั่วโมงแรก จุลินทรีย์ในอาหารทั้ง 2 ชนิดยังไม่มีอาการเจริญเติบโต แต่หลังจาก 12 ชั่วโมง การเจริญเติบโตจะเห็นได้อย่างชัดเจน เชื้อ *Ustilago* sp. PM103 ที่เลี้ยงในอาหารที่ใช้แอมโมเนียมซัลเฟตมีการเจริญเติบโตได้ดีที่สุด (รูปที่ 3.9) และความเป็นกรดต่างในอาหารที่ใช้แอมโมเนียมซัลเฟต จะลดลง ในขณะที่อาหารที่ใช้โซเดียมไนเตรตจะไม่แสดงให้เห็นการลดลงของความเป็นกรดต่างในช่วง 48 ชั่วโมง ซึ่งการลดลงของความเป็นกรดต่างเริ่มแสดงให้เห็นเมื่อเวลาผ่านไป 12 ชั่วโมง โดยจะลดลงอย่างรวดเร็วในช่วงเวลา 12-24 ชั่วโมง และเริ่มคงที่เมื่อเวลาผ่านไปจนถึงเวลา 48 ชั่วโมง (รูปที่ 3.10) และยังพบว่า ความเป็นกรดต่างในอาหารมีแนวโน้มลดลงเช่นเดียวกับปริมาณแอมโมเนียมในอาหาร (รูปที่ 3.11) แต่การลดลงของความเป็นกรดต่างจะไม่สัมพันธ์กับปริมาณแคตไอออนที่เป็นเบส (โพแทสเซียม โซเดียม และแมกนีเซียม) ที่เปลี่ยนไปในอาหาร โดยปริมาณแคตไอออนมีการเปลี่ยนแปลงไปน้อยมาก (รูปที่ 3.12)



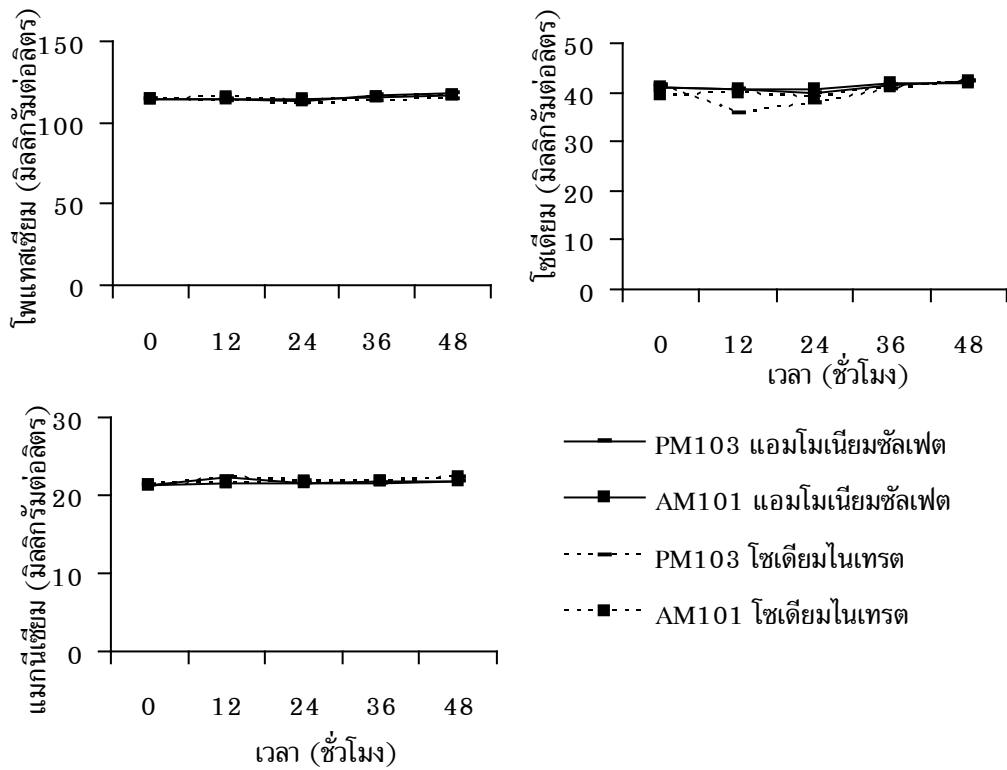
รูปที่ 3.9 การเจริญเติบโตของ *Acidocella* sp. AM101 และ *Ustilago* sp. PM103 ในอาหารที่ใช้ไนโตรเจนในรูปแอมโมเนียมซัลเฟตเมื่อเปรียบเทียบกับอาหารที่ใช้โซเดียมไนเตรต



รูปที่ 3.10 การเปลี่ยนแปลงความเป็นกรดต่างในอาหารที่เลี้ยง *Acidocella* sp. AM101 และ *Ustilago* sp. PM103 ในอาหารที่ใช้ไนโตรเจนในรูปแอมโมเนียมซัลเฟตเมื่อเปรียบเทียบกับอาหารที่ใช้โซเดียมไนเตรต



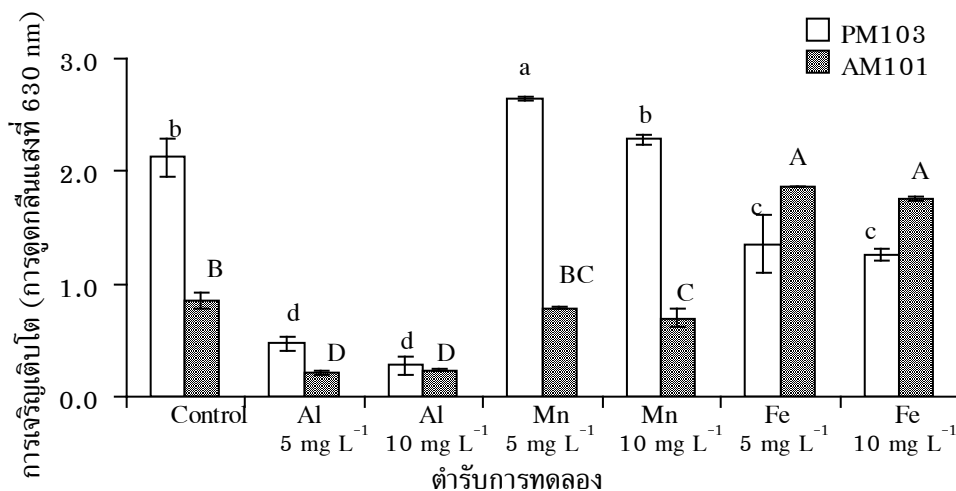
รูปที่ 3.11 ความสัมพันธ์ระหว่างปริมาณแอมโมเนียมกับความเป็นกรดต่างที่เปลี่ยนแปลงของ *Ustilago sp. PM103* (ก) และ *Acidocella sp. AM101* (ข) ในอาหารที่ใช้ในโตรเจนในรูปแอมโมเนียมซัลเฟต



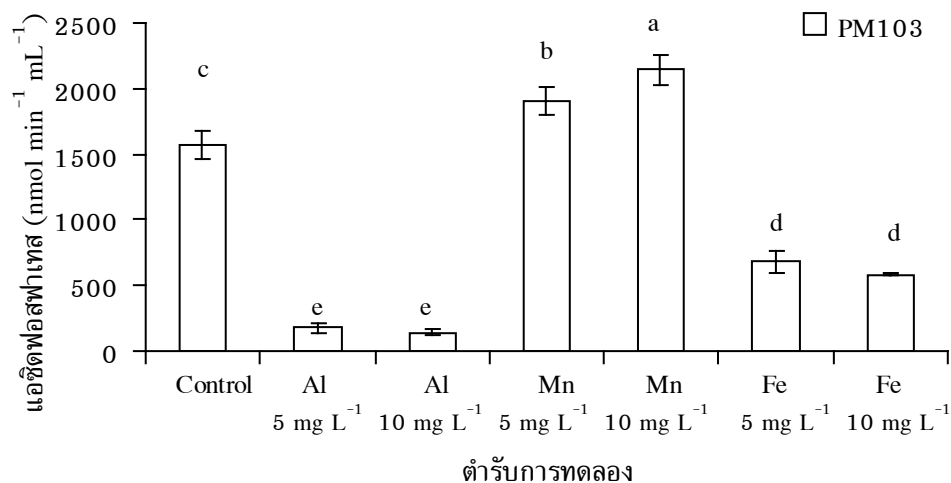
รูปที่ 3.12 ความเข้มข้นของแคตที่เป็นเบส ในอาหารที่ใช้ในโตรเจนในรูปแอมโมเนียมซัลเฟตและในอาหารที่ใช้โซเดียมไนเตรด

3.3.2 ผลของของอะลูมิเนียม เหล็ก และแมงกานีสต่อการเจริญเติบโต และกิจกรรมเอนไซม์แอซิดฟอสฟาเทสของจุลินทรีย์

จากการศึกษาพบว่า อะลูมิเนียม เหล็ก และแมงกานีส ความเข้มข้น 5 และ 10 มิลลิกรัมต่อลิตร มีผลต่อการเจริญเติบโต และกิจกรรมของเอนไซม์แอซิดฟอสฟาเทส โดยแมงกานีสที่ความเข้มข้น 5 มิลลิกรัมต่อลิตร ส่งผลให้การเจริญเติบโตของเชื้อ *Ustilago* sp. PM103 ได้ดีที่สุด (2.651) แต่ไม่ได้ทำให้เชื้อ *Acidocella* sp. AM101 มีการเจริญเติบโตดีขึ้น และที่แมงกานีส 10 มิลลิกรัมต่อลิตร มีกิจกรรมเอนไซม์แอซิดฟอสฟาเทสของเชื้อ *Ustilago* sp. PM103 ได้ดีที่สุด (2,148.60 nmol min⁻¹ mL⁻¹) และเหล็กทำให้เชื้อ *Acidocella* sp. AM101 เจริญเติบโตได้ดีที่สุดเมื่อเทียบกับการเลี้ยงในอาหารที่มีอะลูมิเนียมและแมงกานีส แต่ไปลดการเจริญเติบโตและกิจกรรมเอนไซม์แอซิดฟอสฟาเทสของเชื้อ *Ustilago* sp. PM103 ในขณะที่อะลูมิเนียมไปยับยั้งการเจริญเติบโตของเชื้อทั้งสองสายพันธุ์ และลดกิจกรรมเอนไซม์แอซิดฟอสฟาเทสของเชื้อ *Ustilago* sp. PM103 (รูปที่ 3.13 และ 3.14)



รูปที่ 3.13 การเจริญเติบโตของเชื้อ *Acidocella* sp. AM101 และ *Ustilago* sp. PM103 ในอาหารที่มีอะลูมิเนียมคลอไรด์ เฟอร์รัสซัลเฟต และแมงกานีสซัลเฟต ที่เวลา 20 วัน ในอาหารที่มีฟอสฟอรัสในรูปโซเดียมไฟเตต (ตัวอักษรพิมพ์เล็ก แสดงความแตกต่างทางสถิติของ *Ustilago* sp. PM103 ที่ 95% ตัวอักษรพิมพ์ใหญ่ แสดงความแตกต่างทางสถิติของ *Acidocella* sp. AM101 ที่ 95%)



รูปที่ 3.14 กิจกรรมเอนไซม์แอซิดฟอสฟาเทสของ *Ustilago* sp. PM103 ในอาหารที่มีอะลูมิเนียมคลอไรด์ เฟอร์รัสซัลเฟต และแมงกานีสซัลเฟตที่เวลา 20 วัน ในอาหารที่มีฟอสฟอรัสในรูปโซเดียมฟิเทต (ตัวอักษรพิมพ์เล็ก แสดงความแตกต่างทางสถิติที่ความเชื่อมั่น 95%)

3.4 ผลของความเป็นกรดต่อการละลายฟอสฟอรัส

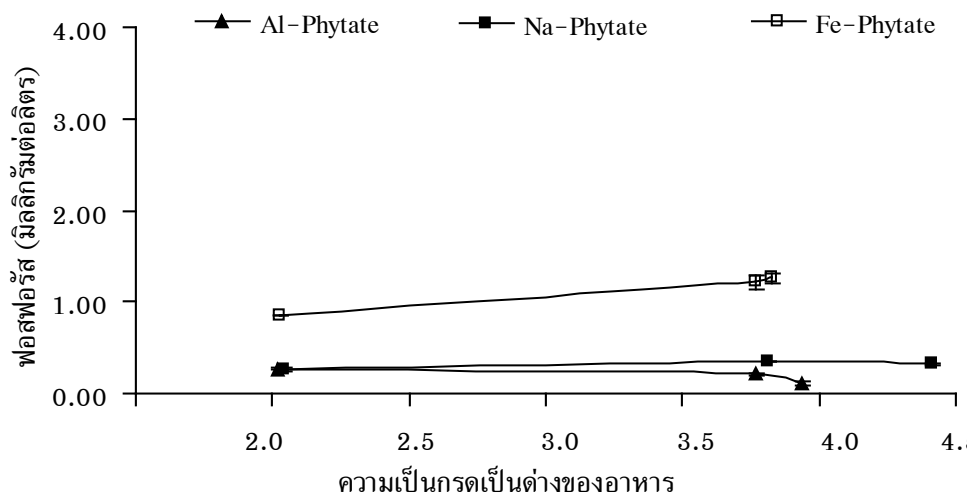
3.4.1 ผลของความเป็นกรดต่อความเป็นประโยชน์ของอินทรีย์ฟอสฟอรัส

ความเป็นกรดต่างมีผลต่อการละลายอินทรีย์ฟอสฟอรัสเพียงเล็กน้อย โดยพบว่าเมื่อความเป็นกรดต่างของอาหารเลี้ยงเชื้อลดลงจาก 4 ไปถึงระดับ 2 อะลูมิเนียมฟิเทตมีการละลายและปลดปล่อยฟอสฟอรัสที่เป็นประโยชน์ออกมามากขึ้น เมื่อความเป็นกรดต่างลดลงถึง 2 จะมีฟอสฟอรัสถูกปลดปล่อยออกมา 0.268 มิลลิกรัมต่อลิตร (จากเดิมฟอสฟอรัส 5 มิลลิกรัมต่อลิตร) ในขณะที่ไอรอนฟิเทต และโซเดียมฟิเทต เมื่อความเป็นกรดต่างลดลงถึง 2 พบว่าที่ความเป็นกรดต่าง 2 ถึง 4 ไม่มีผลต่อการละลายฟอสฟอรัสละลายออกมา อย่างไรก็ตาม การลดลงของความเป็นกรดต่างจะมีผลต่อการละลายอินทรีย์ฟอสฟอรัสได้น้อยมาก เมื่อเทียบกับฟอสฟอรัสที่ใส่ลง (5 มิลลิกรัมฟอสฟอรัสต่อลิตร) (รูปที่ 3.15)

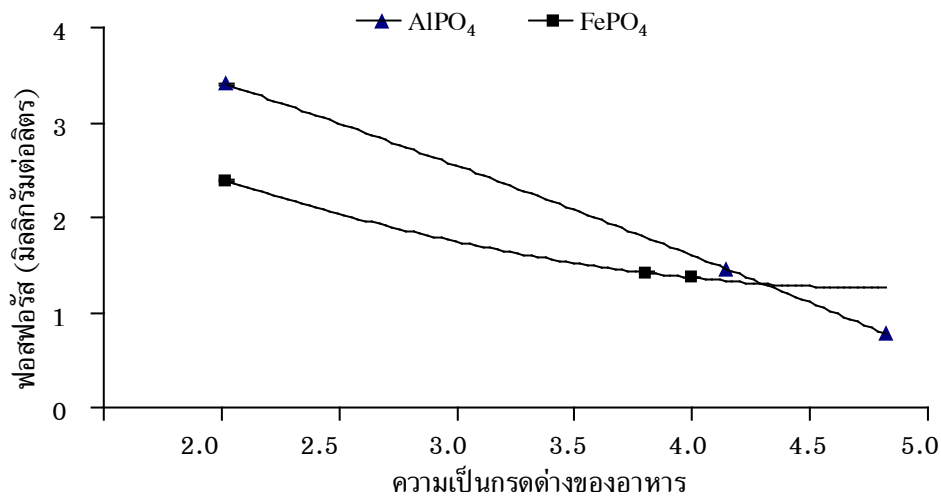
3.4.2 ผลของความเป็นกรดต่อความเป็นประโยชน์ของอินทรีย์ฟอสฟอรัส

จากการศึกษา พบว่า ความเป็นกรดต่างที่ลดลงถึง 2 จะทำให้อินทรีย์ฟอสฟอรัสทั้งในรูปของอะลูมิเนียมฟอสเฟต และไอรอนฟอสเฟตละลาย และความเป็นประโยชน์ของฟอสฟอรัสเพิ่มขึ้น เมื่อความเป็นกรดต่างลดลงถึง 2 ฟอสฟอรัสถูกปลดปล่อยจากอะลูมิเนียม-

ฟอสเฟต 3.402 มิลลิกรัมต่อลิตร ในขณะที่ฟอสฟอรัสถูกปลดปล่อยออกมาจากไฮรอนฟอสเฟต 2.383 มิลลิกรัมต่อลิตร (รูปที่ 3.16)



รูปที่ 3.15 ความเป็นกรดต่างต่อการละลายอินทรีย์ฟอสเฟต

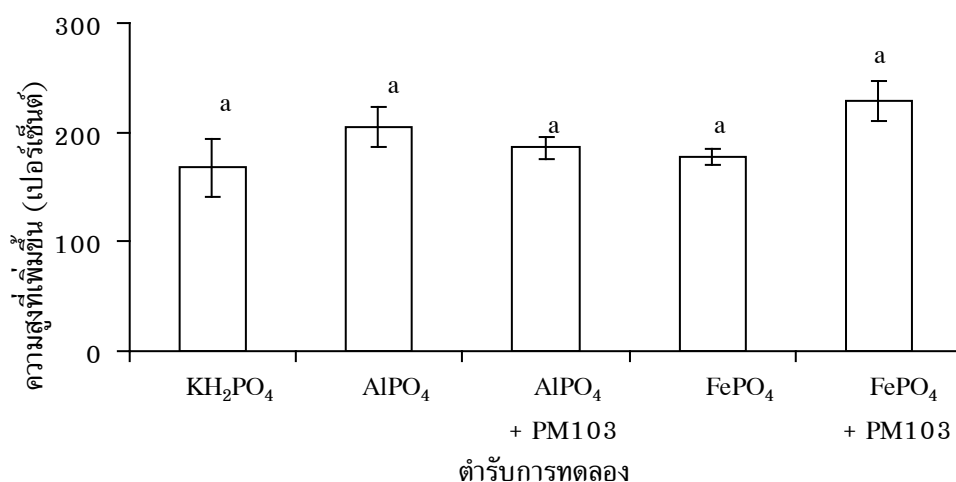


รูปที่ 3.16 ความเป็นกรดต่างต่อการละลายอนินทรีย์ฟอสเฟต

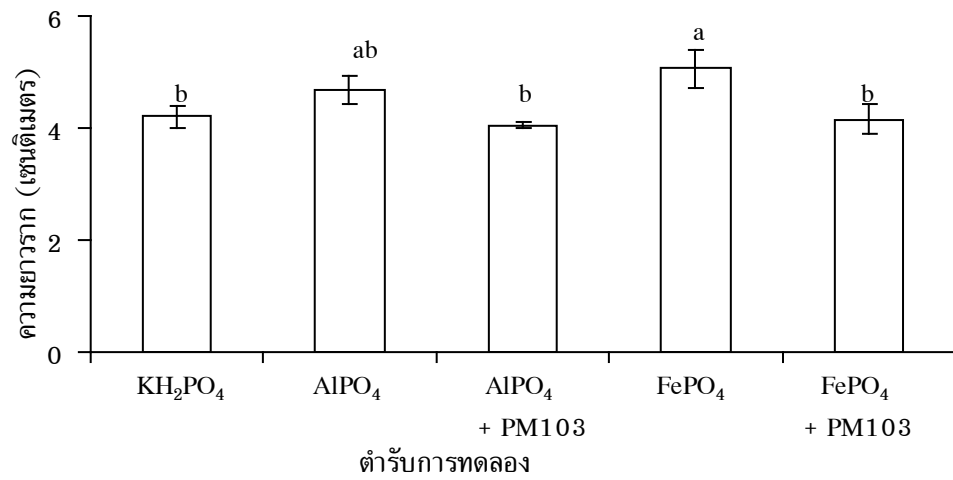
3.5 การใช้เชื้อ *Ustilago* sp. PM103 ในการเพิ่มความเป็นประโยชน์ของฟอสฟอรัสให้กับพืช

การใช้เชื้อ *Ustilago* sp. PM103 เพิ่มความเป็นประโยชน์ของฟอสฟอรัสกับข้าวพันธุ์ลูก-แดงปัตตานี พบว่า ความสูงที่เพิ่มของต้นข้าวทุกตำรับการทดลองไม่มีความแตกต่างทางสถิติ (รูป

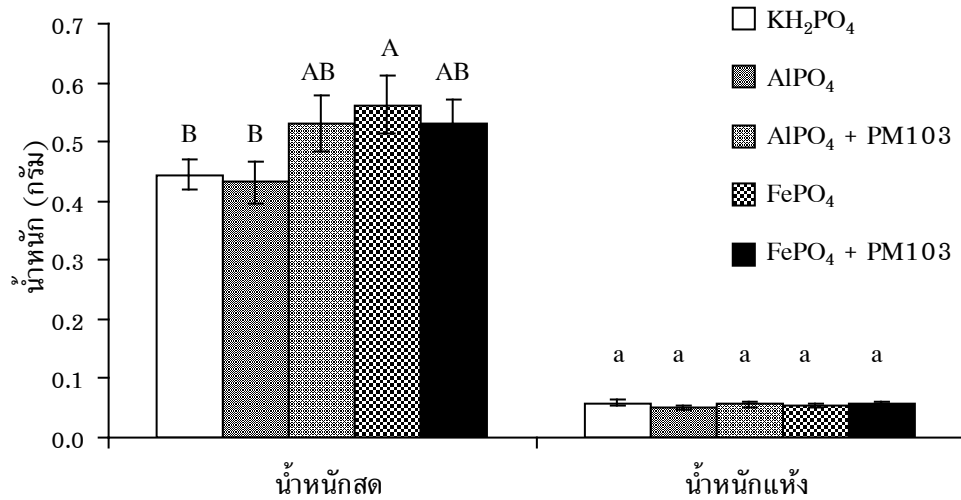
ที่ 3.17) แต่พบว่าในตำรับการทดลองที่ใช้ฟอสฟอรัสในรูปที่ละลายน้ำได้ยากและไม่ใช้เชื้อจุลินทรีย์ จะทำให้รากยาวกว่าตำรับการทดลองอื่นๆ โดยในตำรับการทดลองที่ใส่ฟอสฟอรัสในรูปไอออนฟอสเฟต จะทำให้รากยาวที่สุด อย่างมีนัยสำคัญทางสถิติ (รูปที่ 3.18) ในขณะที่ต้นข้าวในตำรับการทดลองที่ใช้ฟอสฟอรัสในรูปไอออนฟอสเฟตที่ไม่ใส่เชื้อ *Ustilago* sp. PM103 มีน้ำหนักสดสูงสุด (0.5628 กรัมต่อขวด) โดยมีน้ำหนักแห้งสูงกว่าตำรับการทดลองที่ใส่ฟอสฟอรัสในรูปอะลูมิเนียมฟอสเฟตที่ไม่ใช้เชื้อจุลินทรีย์ และตำรับการทดลองที่ใช้ฟอสฟอรัสในรูปที่ละลายน้ำได้ง่ายอย่างมีนัยสำคัญทางสถิติ แต่จะไม่แตกต่างกับตำรับการทดลองที่ใช้เชื้อจุลินทรีย์ร่วมกับฟอสฟอรัสที่ละลายน้ำได้ยาก และน้ำหนักแห้งของแต่ละตำรับการทดลอง ไม่มีความแตกต่างกันทางสถิติ (รูปที่ 3.19) อย่างไรก็ตาม ปริมาณฟอสฟอรัสและความเข้มข้นของฟอสฟอรัสในต้นข้าวของตำรับการทดลองที่ใช้ฟอสฟอรัสในรูปที่ละลายน้ำได้ง่าย จะสูงกว่าตำรับการทดลองอื่นๆ อย่างมีนัยสำคัญทางสถิติ (16.93 ไมโครกรัมต่อขวด และ 2.95 มิลลิกรัมต่อกิโลกรัม ตามลำดับ) และในตำรับการทดลองที่ใช้ฟอสฟอรัสในรูปที่ละลายน้ำได้ยากที่ใช้เชื้อและไม่ใช้เชื้อ มีฟอสฟอรัสไม่แตกต่างกันทางสถิติ (รูปที่ 3.20)



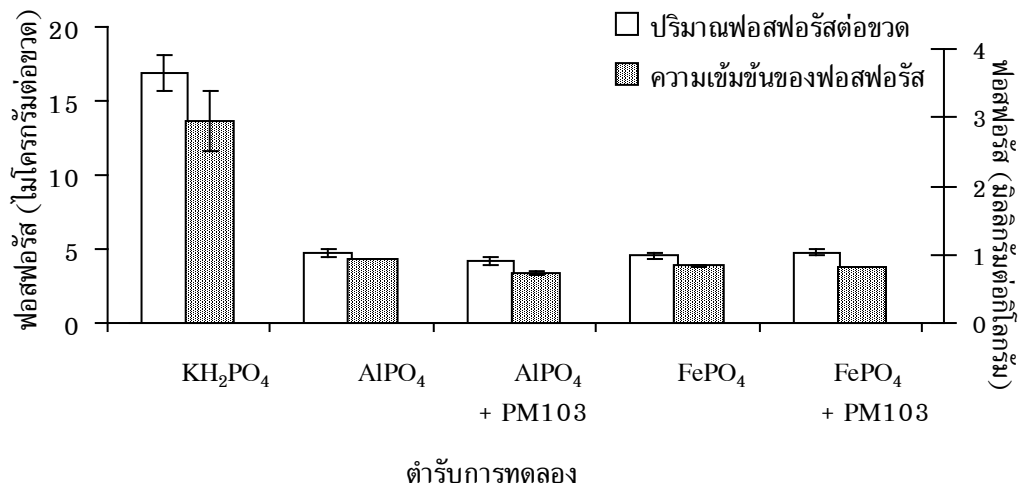
รูปที่ 3.17 ความสูงที่เพิ่มขึ้นของต้นข้าวพันธุ์ลูกแดงปัตตานี ที่เวลา 30 วัน ที่ปลูกในอาหารสูตร Murashige & Skoog ระหว่างการเติมเชื้อ *Ustilago* sp. PM103 และไม่เติม



รูปที่ 3.18 ความยาวรากของต้นข้าวพันธุ์ลูกแดงปัตตานีปลูกในอาหารสูตร Murashige & Skoog ระหว่างการเติมเชื้อ *Ustilago* sp. PM103 และไม่เติม



รูปที่ 3.19 น้ำหนักสดและน้ำหนักแห้งของต้นข้าวพันธุ์ลูกแดงปัตตานีปลูกในอาหารสูตร Murashige & Skoog ระหว่างการเติมเชื้อ *Ustilago* sp. PM103 และไม่เติม



รูปที่ 3.20 ปริมาณและความเข้มข้นของฟอสฟอรัสของต้นข้าวพันธุ์ลูกแดงปัตตานีที่ปลูกในอาหารสูตร Murashige & Skoog ระหว่างการเติมเชื้อ *Ustilago* sp. PM103 และไม่เติม